

# 火焰喷涂 Al、Zn-Al 涂层在舟山地区海洋环境的腐蚀行为

陈散兴<sup>1</sup> 周学杰<sup>1</sup> 张三平<sup>1</sup> 金威贤<sup>2</sup> 潘莹<sup>1</sup>

1. 武汉材料保护研究所 特种表面保护材料及应用国家重点实验室 武汉 430030;

2. 舟山海洋腐蚀研究所 舟山 316000

**摘要:** 利用宏观腐蚀形貌分析、3D 微观形貌分析、腐蚀产物 XRD 检测、电化学阻抗谱对火焰喷涂 Al 和 Zn-Al15% 涂层在舟山站潮差区和飞溅区的腐蚀行为进行了探究, 其结果显示: 两种涂层经 12 a 海洋环境实验仍具有很好的保护性能, 喷 Al 和 Zn-Al 涂层在潮差区腐蚀比飞溅区腐蚀严重; 喷 Al 比 Zn-Al 涂层有更好的耐蚀性; EIS 测试说明喷 Al 的阻抗值大于喷 Zn-Al 涂层, 喷 Al 涂层的防护效果优于 Zn-Al 涂层。

**关键词:** 喷 Al 涂层 喷 Zn-Al 涂层 海洋环境腐蚀 电化学

**中图分类号:** TG172 **文献标识码:** A **文章编号:** 1002-6495(2016)05-0480-05

## Corrosion Behavior of Flame Spraying Coatings of Al and Al-Zn Alloy on Low Carbon Steel in Marine Environment by Seaside of Zhoushan Island

CHEN Sanxing<sup>1</sup>, ZHOU Xuejie<sup>1</sup>, ZHANG Sanping<sup>1</sup>, JIN Weixian<sup>2</sup>, PAN Ying<sup>1</sup>

1. State Key Laboratory of Special Surface Protection Materials and Application Technology, Wuhan Institute of Materials Protection, Wuhan 430030, China;

2. Zhoushan Marine Corrosion Institute, Zhoushan 316000, China

**Abstract:** Corrosion behavior of flame spraying coatings of Al and Al-Zn alloy exposed at positions located at tidal- and splash-zone respectively by the seaside of Zhoushan island was investigated by means of macroscopic and 3D-microscopic morphology observation, XRD and EIS. The results showed that the two coatings can provide good protection for carbon steel after 12 a exposure, however coatings located at tidal zone suffered from much serious corrosion than those at splash zone; Al coating showed better corrosion resistance than Zn-Al coating. Correspondingly the the corrosion impedance of Al coating was higher than that of Zn-Al coating.

**Key words:** spraying Al coating, spraying Zn-Al coating, corrosion of marine environment, electrochemical

### 1 前言

长期处于海洋环境的工程结构件, 暴露在空气中受到海洋大气的腐蚀, 由于海洋大气空气湿度大, 且 Cl<sup>-</sup> 含量高, 所以钢铁构件在海洋大气环境的腐蚀

非常严重; 处于海水飞溅和潮差环境的工件和设备, 由于长期处于干湿交替与 Cl<sup>-</sup> 侵蚀, 环境最为严苛、恶劣, 腐蚀也比海洋大气更为严重, 所以对于应用于海洋环境的设备的耐蚀性要求很高, 而且设备寿命也要求很长, 一般要达到 20 到 30 a, 而一般涂料很难达到要求, 阳极金属喷涂层不仅可以提供牺牲阳极阴极保护, 而且可以阻挡介质对基体的侵蚀, 相比传统的有机涂层有更好的防护效果。文献<sup>[1-3]</sup>

定稿日期: 2015-12-04

作者简介: 陈散兴, 男, 1990 年生, 硕士生

通讯作者: 陈散兴, E-mail: yzssd@hatmail.com, 研究方向为金属材料腐蚀与防护

DOI: 10.11903/1002.6495.2015.333

探讨了冷喷涂Al及其合金涂层的海水耐蚀性,周学杰等<sup>[4-6]</sup>研究了火焰喷涂层的海水耐蚀性,Brito等<sup>[7]</sup>研究了碳钢热喷涂金属涂层的性能,Zhao等<sup>[8]</sup>通过自行设计的试验机模拟了热喷涂涂层在飞溅区的腐蚀,Jiang等<sup>[9]</sup>研究了电弧喷涂Al合金涂层在海水浸泡过程的电化学性能。但是大多数工作都局限于实验室浸泡实验,实地海洋环境与实验室环境存在一定差异,实地海洋环境挂片实验能更真实地反映涂层在该区域的耐蚀性,挂片时间越长,数据越珍贵,越能体现涂层的长期服役表现。所以本文以火焰喷涂Al、Zn-Al涂层在舟山站潮差区和飞溅区挂样12 a的试样来进行分析和检测,更能体现出涂层在真实的环境中的耐蚀性。

## 2 实验方法

实验材料选用火焰喷涂Al和Zn-15Al(质量分数,%)涂层,基材为20#碳钢,喷涂材料为纯Al和Zn-15Al(后面简称Zn-Al),按GB9793-97执行,基材经喷砂处理。喷涂工艺参数为:压缩空气压力0.45~0.66 MPa,氧气压力0.5 MPa,乙炔压力0.08~0.12 MPa,乙炔流量0.5~0.7 m<sup>3</sup>/h。喷涂层的平均结合强度大于10 MPa,喷涂层厚度150~200 μm。

曝露实验按JB/T8424-96要求,在舟山海水腐蚀试验站进行,实验条件飞溅区和潮差区。舟山地区属于亚热带季风气候,年平均气温16℃左右,平均盐度26 g/L,pH值为8.14。试样于2002年6月挂样,2014年6月取样,实验时间12 a。取回试样之后,用清水轻轻刷去表层泥灰,然后用酒精冲洗干净,在100℃下烘干。3D腐蚀形貌所用仪器为VHX-2000,放大倍率200倍。因为试样表层可刮取的腐蚀产物非常少,所以在试样上切割下一个1 cm×1 cm的小块,利用D8-FocusX射线衍射仪(XRD)进行物相分析,扫描速率2°/s。电化学分析采用三电极体系,参比电极为饱和甘汞电极,所用溶液为3.5%的NaCl溶液,在2237电化学工作站进行电化学实验,电化学阻抗谱频率范围10<sup>5</sup>~10<sup>-2</sup> Hz。

## 3 结果与分析

### 3.1 宏观腐蚀形貌

两种喷涂层在潮差区和飞溅区的宏观腐蚀形貌如图1所示,图中C表示潮差区,F表示飞溅区。喷铝涂层在潮差区的腐蚀形貌如图1a所示,喷涂层局部区域出现白色点蚀,腐蚀产物堆积凸起在试样表面并且集中在固定孔附近,XRD分析结果如图2所示,其腐蚀产物主要是Al(OH)<sub>3</sub>和蒙脱土(Al<sub>14</sub>Si<sub>8</sub>O<sub>24</sub>Ca)。没有明显腐蚀的表面,已经失去喷涂层原有的金属光泽,呈现灰黄色。喷铝涂层在飞溅区的腐蚀形貌

如图1c所示,有少量海生物附着在编号孔周围,表层有微小点蚀,直径小于5 mm,有灰色斑点分布在表面,试样仍然呈现黄色,表面无红色锈点,涂层未出现裂纹和剥落。

喷Zn-Al涂层在潮差区的腐蚀形貌如图1b,试样表面呈现灰色偏暗,有明显点蚀均匀分布在表层,局部微小区域有脱落痕迹。喷Zn-Al涂层在飞溅区的腐蚀形貌如图1d,试样表面布满泥土,呈泥褐色,局部区域呈灰色,与其在潮差区的颜色类似。表面没有看到明显腐蚀产物和腐蚀坑,存在一些微小凸起的颗粒。

整体上Al涂层的防护效果仍然优于Zn-Al涂层。从图1a和c可以看出,Al涂层在潮差区有明显点蚀,以及凸起的点蚀产物,其余区域涂层完好;而飞溅区点蚀相对潮差区弱,白色点蚀也明显可见,点蚀区域没有潮差区严重。从图1b和d可以看出,Zn-Al涂层在潮差区的腐蚀明显比飞溅区大。

### 3.2 显微3D腐蚀形貌及腐蚀产物分析

两种喷涂层在潮差区和飞溅区的3D腐蚀形貌如图3所示。喷铝涂层在潮差区的腐蚀产物表面光滑、致密,如图3a中红色箭头所指区域。其余区域表层呈现灰黄色,是Al涂层基体,并无明显腐蚀产

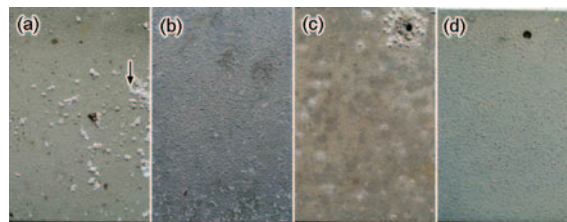


图1 两种喷涂层在潮差区和飞溅区的宏观腐蚀形貌  
Fig.1 corrosion morphologies of Al (a, c) and Zn-Al (b, d) coatings in tidal (a, b) and splash (c, d) zone

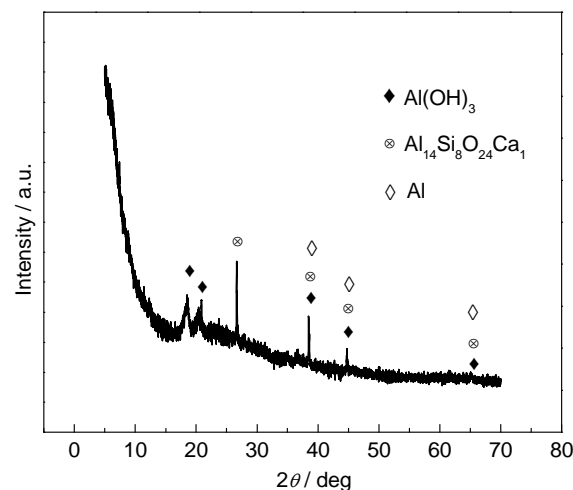


图2 喷铝涂层在潮差区的白色腐蚀产物的XRD谱  
Fig.2 XRD spectrum of corrosion products of Al coating in tidal zone

物覆盖,图3a右侧是喷铝涂层在潮差区的XRD结果,从图中可以看出,表层没有发现腐蚀产物,均为Al涂层基体, $\text{SiO}_2$ 是粘附在涂层表面的残留泥灰。喷铝涂层在飞溅区的形貌与潮差区并无明显区别,

但是在高低不平的表层的沟壑中有牢固粘附在Al基体上的灰层和泥土,如图3c箭头所指的区域,其XRD分析可知,涂层表面主要是Al基体,存在少量Mg化合物( $\text{Mg}_{12}\text{Si}_{16}\text{O}_{48}$ ),由于喷涂材料为纯Al,

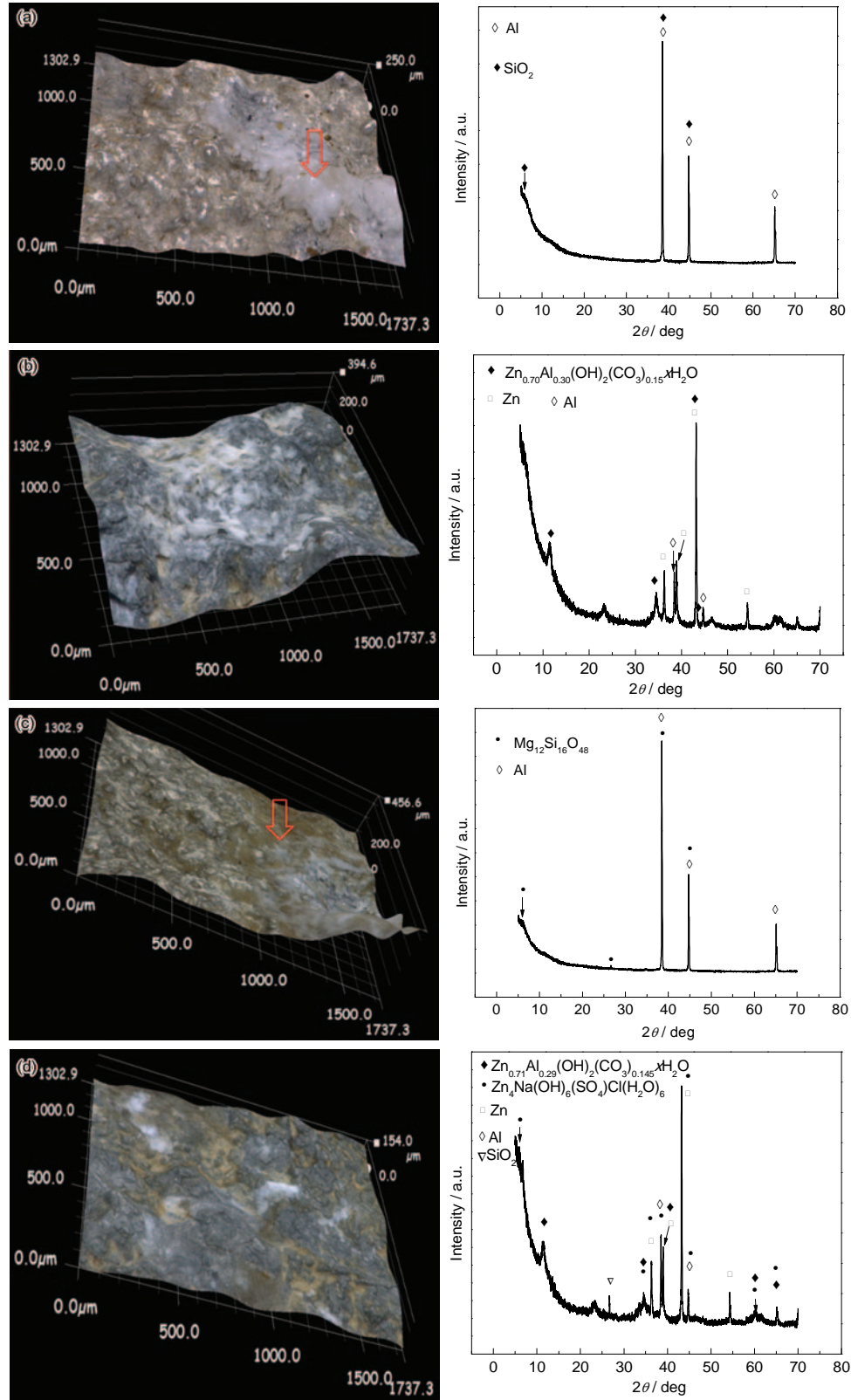


图3 两种喷涂层在潮差区和飞溅区的3D微观腐蚀形貌及其对应的物相分析

Fig.3 3D microstructures and XRD analysis of Al (a, c) and Zn-Al (b, d) coatings in tidal (a, b) and splash (c, d) zone



$\text{Mg}_{12}\text{Si}_6\text{O}_{48}$ 中Mg应该来自海水。喷Zn-Al涂层在潮差区的腐蚀形貌如图3b所示,表层局部覆盖有白色腐蚀产物,其XRD结果显示白色腐蚀产物主要是 $\text{Zn}_{0.71}\text{Al}_{0.29}(\text{OH})_2(\text{CO}_3)_{0.145} \cdot x\text{H}_2\text{O}$ ,其余区域是裸露的喷涂层基体,涂层表面的沟壑中仍然有黄色粘附的泥土和灰尘。喷Zn-Al涂层在飞溅区的腐蚀形貌如图3d,灰色部分为喷涂层金属,粘附在涂层上面的白色腐蚀产物是Zn或Al的腐蚀产物,其XRD结果显示,腐蚀产物是 $\text{Zn}_4\text{Na}(\text{OH})_6(\text{SO}_4)\text{Cl}(\text{H}_2\text{O})_6^{[10]}$ 和 $\text{Zn}_{0.71}\text{Al}_{0.29}(\text{OH})_2(\text{CO}_3)_{0.145} \cdot x\text{H}_2\text{O}$ ,沟壑中淡黄色的物质应该是粘附在涂层上的泥土或者灰尘,主要成分是 $\text{SiO}_2$ 。

### 3.3 电化学分析

喷Zn-Al和喷Al涂层在飞溅区和潮差区的电化学阻抗谱测试结果如图4所示。对以下Nyquist图用Zswinp进行了拟合,拟合参数如表1所示,模拟等效电路如图5所示。 $R_s$ 代表溶液电阻, $Q_c$ 是氧化膜层或者涂层腐蚀产物电容, $R_c$ 为氧化膜层或者腐蚀产物电阻, $Q_{dl}$ 是双电层电容, $R_{ct}$ 为法拉第电阻, $n_1$ 、 $n_2$ 为弥散指数,为了取得更好的模拟效果,电容都采用常相位角元件。

喷Zn-Al涂层在潮差区和飞溅区的连续挂样12a之后的电化学阻抗谱可以看出,测得的Nyquist曲线是由两段圆弧构成,表明在腐蚀过程中没有理想电容,对阻抗谱进行拟合分析所得的等效电路如图5所示,双电层电容 $Q_{dl}$ 与法拉第电阻 $R_{ct}$ 并联后与膜层电阻 $R_c$ 串联。膜层电阻的存在是由于喷涂层存在大量孔隙,当腐蚀介质进入这些孔隙之后导致孔隙周围的涂层腐蚀,腐蚀产物体积增大堵塞孔隙,阻止介质对基体的腐蚀。由于长期处于Cl<sup>-</sup>环境中,腐蚀产物膜层会受到Cl<sup>-</sup>的侵蚀,破坏膜层的完整性,所以在这些微小区域,腐蚀产物膜层表现出非纯电容和非纯电阻的特性。通过对比潮差区和飞溅区的 $n_1$ 和 $n_2$ 的值,弥散指数越接近1则常相位角元件的容特性越强,在这两个区域的弥散指数都在0.5附近,相差较小。潮差区腐蚀产物膜层电阻( $1215 \Omega \cdot \text{cm}^2$ )约是飞溅区( $295.5 \Omega \cdot \text{cm}^2$ )的4倍,说明涂层在潮差区腐蚀产物比飞溅区多一些,而对比图1b和d及图3b和d也可以很好的证实这一点,潮差区的法拉第电阻 $R_{ct}$ ( $9170 \Omega \cdot \text{cm}^2$ )也约是飞溅区( $2170 \Omega \cdot \text{cm}^2$ )的4倍。

从Al涂层在舟山的潮差区和飞溅区连续挂样12a之后的阻抗谱可以看出,Nyquist曲线几乎是一条直线,无明显半圆或者圆弧现象,潮差区的膜层电阻 $R_c$ ( $9443 \Omega \cdot \text{cm}^2$ )远远大于飞溅区( $2112 \Omega \cdot \text{cm}^2$ ),

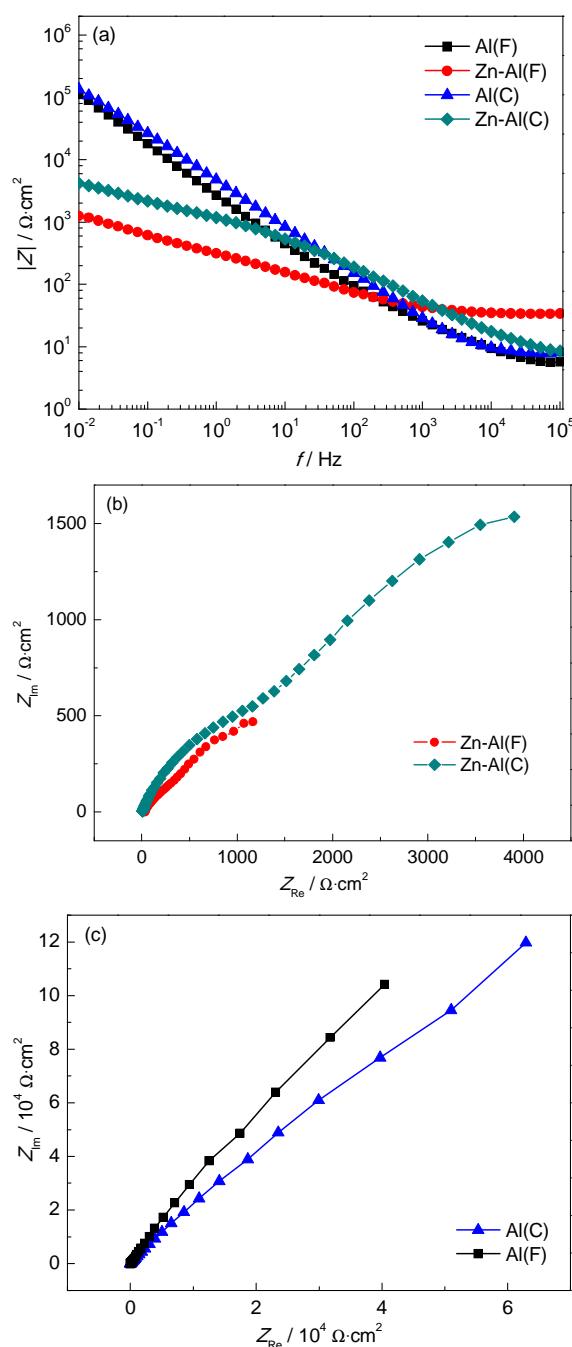


图4 喷Zn-Al和喷Al涂层在飞溅区和潮差区的电化学阻抗谱

Fig.4 Bode (a) and Nyquist (b, c) plots of two coatings in tidal and splash zone

潮差区的弥散系数 $n_1$ 比飞溅区的大50%,潮差区的膜层更接近电容特性,也说明膜层更加完整。潮差区Al涂层的法拉第电阻 $R_{ct}$ 是飞溅区的2.44倍。

从图4两种涂层在飞溅区和潮差区的Bode图谱可以看出,Al涂层在低频区的阻抗模值比Zn-Al涂层的低频阻抗值高出2个数量级,Al涂层达到了 $10^5$ ,而Zn-Al涂层只有 $10^3$ 。Al涂层在飞溅区和潮差区低频阻抗值无明显差别。Zn-Al涂层在潮差区的低频阻抗值明显大于飞溅区的阻抗值。在高频区,

表 1 对两种喷涂层在飞溅区和潮差区的阻抗谱进行拟合得到的数据  
Table 1 Optimum fit parameters for experiments in Fig.4 using model in Fig.5

Coating	$R_s$ $\Omega \cdot \text{cm}^2$	$Q_c$ $S \cdot \text{sec}^n \cdot \text{cm}^{-2}$	$n_1$ $0 < n < 1$	$R_c$ $\Omega \cdot \text{cm}^2$	$Q_{dl}$ $S \cdot \text{sec}^n \cdot \text{cm}^{-2}$	$n_2$ $0 < n < 1$	$R_{ct}$ $\Omega \cdot \text{cm}^2$
Zn-Al (F)	32.7	$5.46 \times 10^{-4}$	0.54	295.5	$2.01 \times 10^{-3}$	0.49	$2.17 \times 10^3$
Zn-Al(C)	5.60	$1.14 \times 10^{-4}$	0.58	1215	$7.03 \times 10^{-4}$	0.449	$9.17 \times 10^3$
Al(C)	7.24	$3.71 \times 10^{-5}$	0.79	9443	$1.6 \times 10^{-5}$	0.63	$1.5 \times 10^5$
Al(F)	5.85	$5.21 \times 10^{-4}$	0.53	2112	$0.78 \times 10^{-5}$	0.77	$6.16 \times 10^4$

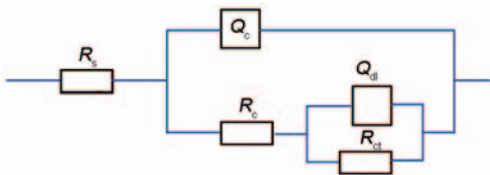


图 5 喷涂层在飞溅区和潮差区的模拟等效电路图  
Fig.5 equivalent circuit models used to fit the experimental data of two coatings in tidal and splash zone

Zn-Al 涂层的阻抗值大于 Al 涂层。

从外观形貌来看,两种涂层在潮差区的腐蚀都明显大于飞溅区;从电化学阻抗谱分析来看,两种涂层潮差区的膜层电阻、极化电阻、高频阻抗值都大于飞溅区。潮差区的试样,在涨潮的时候处于浸泡状态,海水中存在大量的 $\text{Cl}^-$ 、 $\text{SO}_4^{2-}$ 、 $\text{Mg}^{2+}$ ,溶液导电性强,而且表层海水含氧量高, $\text{O}_2$ 的去极化很容易;飞溅区的试样,处于干湿交替循环的环境,很大程度上与薄液膜下的腐蚀类似,所以相比飞溅区潮差区的腐蚀要严重一些。对于 Zn-Al 涂层,潮差区表面有更多腐蚀产物,这也是导致潮差区膜层电阻、极化电阻、高频阻抗值都大于飞溅区的原因,由此说明在 12 a 的挂样期间,潮差区有更多的涂层遭到了腐蚀,但是由于锈层开始剥落,致密度不好,对腐蚀介质的阻挡作用也减弱,在腐蚀产物剥落的区域,涂层基体将进一步腐蚀。对于 Al 涂层,萧以德等<sup>[6]</sup>探究了 Al 含量对 Zn-Al 涂层耐蚀性的影响,其结果显示 Al 含量越高,涂层越耐蚀,本文结论与其一致。纯 Al 会在其表面生成一层很薄的 $\text{Al}_2\text{O}_3$ 氧化膜,对腐蚀介质有很强的阻碍作用,且其与基体的结合力很好,但是在潮差区,由于海水浸泡、 $\text{Cl}^-$ 、 $\text{SO}_4^{2-}$ 侵蚀,膜层容易遭到破坏,在破坏的区域 $\text{Al}_2\text{O}_3$ 由于电位高充当阴极,Al 由于电位低为阳极,发生局部电偶腐蚀, $\text{Al}^{3+}$ 与 $\text{OH}^-$ 生成 $\text{Al}(\text{OH})_3$ ,并在此区域积累,这也是 Al 涂层在潮差区出现明显点蚀的原因,飞溅区离子的侵蚀明显会比潮差区弱,所以在飞溅区点蚀没有潮差区那么明显。刮取白色点蚀产物时,发现点蚀产物

很牢固地粘附在涂层上,一定程度上对腐蚀也起到了抑制作用,从而导致潮差区的膜层电阻、极化电阻明显高于飞溅区。

4 结论

- (1) 两种涂层在潮差区和飞溅区具备良好的防护性。通过外观形貌、腐蚀产物和电化学阻抗谱等分析,Al 涂层的防护效果好于 Zn-Al 涂层,Al 涂层的低频阻抗值比 Zn-Al 涂层高一个数量级。
- (2) 这两种涂层在潮差区的腐蚀比在飞溅区严重。Al 涂层在潮差区的点蚀比飞溅区严重,Zn-Al 涂层在潮差区出现点蚀且腐蚀产物脱落比飞溅区更严重。
- (3) Al 涂层最表层的成分主要以 Al 为主,Zn-Al 涂层表面腐蚀产物较多,以 Zn 的腐蚀产物为主。

参考文献

[1] 李相波, 许立坤, 邱善广等. 碳钢低压冷喷涂铝涂层的海水耐蚀性 [J]. 电化学, 2013, 19: 425

[2] 李海祥, 李相波, 孙明先等. 冷喷涂 Zn-50Al 复合涂层在海水中的耐蚀性能 [J]. 中国腐蚀与防护学报, 2010, 30(1): 62

[3] 董彩常, 王洪仁, 黄国胜等. 冷喷涂铝涂层在海水中的腐蚀行为研究 [J]. 腐蚀科学与防护技术, 2010, 22(2): 90

[4] 周学杰, 汤志刚, 张三平等. 阳极金属喷涂层在海水中的电化学性能 [J]. 装备环境工程, 2006, 3(1): 52

[5] 周学杰, 张三平, 付志勇等. 金属喷涂层在海水中的腐蚀研究 [J]. 腐蚀科学与防护技术, 2004, 16(4): 236

[6] 萧以德, 付志勇, 朱鹏等. 热喷涂锌-铝合金涂层对钢结构防护性能研究 [J]. 热喷涂技术, 2010, 2(2): 19

[7] Sá Brito V R S, Bastos I N, Costa H R M. Corrosion resistance and characterization of metallic coatings deposited by thermal spray on carbon steel [J]. Mater. Des., 2012, 41: 282

[8] Zhao W M, Wang Y, Liu C, et al. Erosion-corrosion of thermally sprayed coatings in simulated splash zone [J]. Surf. Coat. Technol., 2010, 205(7): 2267

[9] Jiang Q, Miao Q, Liang W P, et al. Corrosion behavior of arc sprayed Al-Zn-Si-RE coatings on mild steel in 3.5wt% NaCl solution [J]. Electrochim. Acta, 2014, 115: 644

[10] 刘雨薇, 王振尧, 曹公望等. Zn 在模拟酸雨大气环境中的腐蚀行为 [J]. 中国有色金属学报, 2015, 25(2): 375